

## 二次元噴流における遷移過程と乱流構造の関連

東大 宇富研 佐藤 浩  
山岸 利治

### 1. はじめに

乱流についての最も根本的な質問の一つは、境界条件とレイノルズ数がきまったとき、乱流の作られ方は全く無関係な普遍的な“十分に発達した乱流”というものが存在するかどうかということである。その存在は多くの人々によって信じられているが、積極的な証明はない。

もう一つの話題は乱流の中の大規模な秩序運動であって、この運動はどのようにして作られるのかわからない。一つの有力な説は乱流の作られる遷移領域から来たのではないかとということである。大きなスケールの変動は減衰しにくくから遷移領域で作られたものが残り、ひいてはそれが普遍的な乱流の形成の妨げとなる可能性がある。

そこで我々はこれらのことを実験によってしらべることにした。乱流の構造として、固体壁のない場合の方が単純な

で、2次元の噴流を対象とした。このとき大規模運動の典型として乱流と層流を分ける、いわゆる間欠層をとりあげる。間欠層の凸凹は大きな規模の横方向速度変動によるものと考えられ、その凸凹の統計的性質が遷移の1かたによってどのようにかわくかということをしらべようというものである。遷移の条件として、自然のままのものと適当な周波数の音を入射して人工的に制御したものを採用する。

## 2. 実験装置

実験に使用した風洞を図1に示す。吹出口の幅は10mm (=2h)で高さ、は400mmである。遷移領域の構造を音えるためのスピーカーは下流の $X=6m$ に置いた。速度変動の測定には熱線風速計を用いた。熱線風速計は定温度型で、線形化器として2個の増算器を用いている。間欠因子や相関などは、すべて計算機(TOSBAC-40L)を使って求めた。吹出口での乱れの強さ $\sqrt{u^2}/U_{00}$  ( $U_{00}$ は吹出口での中心軸上の平均速度で11m/sec)の最大値は0.5%であった。

## 3. 実験結果

### 3-1. 平均速度と乱れの強さ

静止流体中へ吹き出された噴流は層流の不安定性により、

特定の周波数成分の音動が選択されて、 $0 \leq X/2h \leq 6$  の範囲で、指数関数的に成長する。平面噴流においては、 $X$  軸に関して対称な2点をとったとき  $X$  方向の速度音動  $u$  の位相が等しいもの(対称モード, 周波数  $f_1$ ) と  $180^\circ$  すれているもの(反対称モード, 周波数  $f_2$ ) とがある。図2に自然遷移のとき発生する音動の周波数と  $U_{00}$  との関係を示す。両モードの周波数とも、 $U_{00}$  が増すにつれて直線的に増加する。この周波数の音動の振幅がある大きさに達すると非線形干渉を起し、第2次波 ( $2f_1, f_1 - f_2$  など)、第3次波 ( $2f_1 - f_2, 2(f_1 + f_2)$  など) を生じ、基本波の成長はとまり、これらの高調波の振幅が、大きい成分が干渉し合い、やがて特徴的なスペクトル成分のない乱流となる。遷移の初期条件をよえるために最も効果的な周波数を見つけるために、 $X/2h = 15$  で音の周波数を音えてそのときの平均速度の半直幅と中心軸上の平均速度を調べた。その結果を図3に示す。実験は  $Re \equiv U_{00} \cdot 2h/\nu = 7500$ ,  $U_{00} = 11 \text{ m/sec}$  で行なった。この結果から、 $St = 0.24$  ( $f = 265 \text{ Hz}$ ) の音を使用することに決めた。この周波数で、対称モードの音動が励起される。図4は  $X/2h = 4$  における平均速度分布と乱れの強さの分布である。(以後、黒く塗りつぶした記号は音によって励起した場合を表す。) 平均速度分布にはほとんど相違は見られないが、乱れの強さの分布について

は、自然遷移の場合(以下Nと略す)は $Y/h = \pm 4$ 付近で最大となり、反対称モードの変動が大きいが、励起した場合(以下Eと略す)は $Y/h = 0$ で最大となり、反対称モードの変動は抑制されている。これは、対称モードの周波数の音を入射したので、対称モードの変動が増幅され、反対称モードの変動が抑制されたと考えられる。図5は平均速度の半値幅 $b$ と中心軸上の平均速度 $U_0$ の $X$ 方向の変化である。Eの場合、半値幅は小さくなり $U_0$ は大きくなっている。また $b/h$ と $(U_{00}/U_0)^2$ の直線性は乱流の特徴であるが、Nの場合もEの場合も遷移はほぼ同じ範囲で起っていると考えられる。図6は中心軸上での乱れの強さの $X$ 方向の変化であるが、Eの場合乱れの強さの最大値が小さくなっている。

### 3-2. 自己相関

中心軸上での速度変動の自己相関を図7~12に示す。 $X/2h = 5$ ではNの場合もEの場合も1つの周波数成分が卓越している。この周波数は、Nの場合275Hzでこれは対称モードの周波数であり、Eの場合265Hzでこれは入射した音の周波数に一致している。下流に達するにつれてこの周波数成分は相対的に弱くなり、 $X/2h = 20$ ではNの場合もEの場合も乱流の場合の相関を示している。しかし $X/2h = 10$ (図9)では

$N$  の場合の相関は、完全に乱流の相関を示しているが、 $E$  の場合の相関は入射した音の周波数成分がまだ超越している。図13にこの自己相関の極値の  $R(0)$  に対する比の絶対値を示した。極値は図13の上部に示すように  $\tau=0$  に近い順に First, Second, Third とした。 $E$  の場合、この極値は小さくならにくく残っている。また  $N$  の場合は  $X/2h=10$  付近で遷移が完了しているが  $E$  の場合は  $X/2h=14$  付近まで遷移が続いている。

図14は、同じく中心軸上の自己相関から求めた微分特性時間の  $X$  方向の変化である。また図15は、積分特性時間と、全体的な流れの場に関係する時間スケール  $\nu b/U_0$  の  $X$  方向の変化である。但し、積分特性時間の場合、積分は  $\tau=0$  から最初に  $R(\tau)=0$  となる  $\tau$  までとした。微分特性時間と積分特性時間は、乱流域では  $X$  方向にはほぼ直線的に増加しており、わずかながら  $E$  の場合の方が小さく残っている。また乱流域では  $b \propto X$ ,  $U_0 \propto X^{-1/2}$  があるので、 $b/U_0 \propto X^{3/2}$  に従って変化している。そして  $E$  の場合の方が小さく残っている。この時間スケール  $\nu$  の変化は、 $E$  の場合乱流場造の変化が小さく残っているからと考えられる。

### 3-3. 間欠性

自由噴流などのように乱流域が拡大していく流れの場合、乱流域、層流域との間に不規則に変形した境界面をもち、この境界面付近で間欠性が観察される。間欠信号を求める方法を図16に示した。まず threshold level と hold time を設定し、速度変動  $u$  の絶対値が threshold level 以上でかつ連続して hold time 以下のときを乱流と看做した。この threshold level は中心軸上の乱れの強さ(図6)の約1/2にとり、hold time は微分持続時間(図14)の約30%にとった。この倍率は  $X/2h=16$ ,  $Y/2h=5$  での速度変動と間欠信号とをオシロスコープで観察し、threshold level と hold time とを変えながら最適と思われる間欠信号が得られるように決めた。間欠係数の値については、不確定なところがあるが  $Y$  方向の変化を調べたり、 $N$  と  $E$  との場合を比較すること、ができる。

この方法で求めた間欠信号の例を図17に示す。間欠信号  $I(t)$  は、 $I(t)=1$  (乱流の時),  $I(t)=0$  (層流の時) で定義され、間欠係数 (intermittency factor)  $\gamma$  は、 $\gamma = \overline{I(t)}$  である。また出現数 (crossing rate)  $f$  は、考えている点を境界面が単位時間に同じ方向に横切る回数である。

間欠係数分布と出現数分布を図18~22に示す。出現数は最大値で規格化してある。いろいろな  $X/2h$  で  $E$  の場合、 $\gamma$  は小さくなっている。また  $f$  が最大となる  $Y$  方、 $E$  の場合、

小さく行っているが、 $N$ の場合も  $E$ の場合も、 $\gamma = 0.5$  とする  $Y$  で  $f$  が最大となっている。図23 に開穴係数分布の半値幅  $Y_{1/2}$  の  $X$  方向の変化を示す。半値幅は直線的に増加しているが、平均速度分布の半値幅  $b$  で無次元化すると両者の仮想原点が一致して、ないので  $Y_{1/2}/b$  はゆるやかな曲線となる。  $E$  の場合  $Y_{1/2}/2h$  は小さく行っているが、  $Y_{1/2}/b$  は  $Y_{1/2}/2h$  より  $N$  の場合と  $E$  の場合とで大きな相違はみられない。

次に開穴領域の幅  $B$  として  $B \equiv |Y(\gamma=0.8) - Y(\gamma=0.2)|$  をとり、  $B/2h$  と  $B/b$  の  $X$  方向の変化を図24に示した。  $B/2h$  は、  $N$  の場合も  $E$  の場合も直線的に増加し、  $E$  の場合に小さく行っている。この両方の場合の  $B$  の大きさの相違は下流へ進むにつれてますます大きくなっていくことかわかる。しかし  $B/b$  にはそれぞれ大きな相違はみられない。  $Y_{1/2}/b$  と  $B/b$  について  $N$  と  $E$  の場合とで大きな相違は見られないことから、  $N$  と  $E$  の場合、それぞれ自己保存則に従っていると考えられる。これは最初に述べた初期条件が異なっているが最後にはある統計的狀態にあるということの一つの検証であろう。

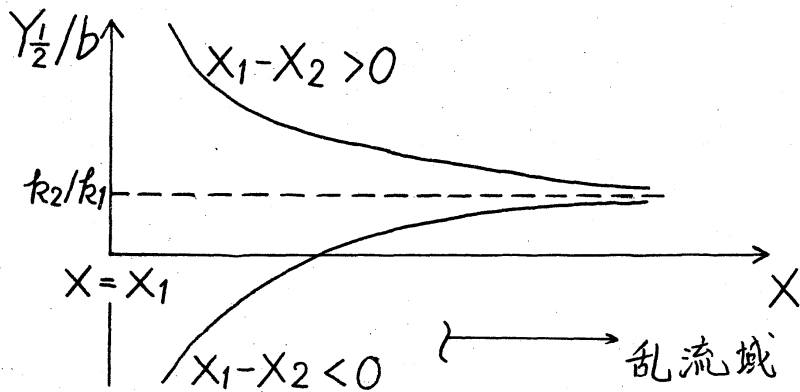
また、二つの半値幅の流孔方向への変化について

$$\begin{cases} b = k_1 (X - X_1) \\ Y_{1/2} = k_2 (X - X_2) \end{cases}$$

とすると

$$\frac{Y_{1/2}}{b} = \frac{k_2}{k_1} \left( 1 + \frac{X_1 - X_2}{X - X_1} \right)$$

両半値幅の増加率の比  $k_2/k_1$  は、 $\frac{k_2}{k_1} = \lim_{X \rightarrow \infty} Y_{1/2}/b$  である。仮想原点の差  $X_1 - X_2$  の正負によって  $Y_{1/2}/b$  の変化は下図のように全く異なる。



$k_2/k_1$  は 1 の程度であり、乱流域のすべての  $X$  で  $Y_{1/2}/b > 1$  であるから、 $X_1 - X_2 > 0$  すなわち、平均速度の半値幅の仮想原点は間欠係数の半値幅の仮想原点より下流にある。

本実験では

	$k_2/k_1$	$(X_1 - X_2)/2h$
N	1.25	5
E	1.13	5

### 3-4 自由境界面の運動

両側の境界面の運動について、最も簡単で理想の場合と

して、図25の上部に示したように対称な運動と反対称な運動を考へる。I<sub>1</sub>をY=Y<sub>1</sub>における間欠信号、I<sub>2</sub>をY=Y<sub>2</sub>における間欠信号として二種類の相関(a)  $\overline{I_1 I_2} / \overline{I_1}$ , (b)  $\overline{I_1 I_2}^2 / \overline{I_1} \cdot \overline{I_2}$  を考へる。トラバース装置の都合でY=Y<sub>1</sub>は固定し、Y<sub>2</sub>を移動させた。完全に対称な運動と反対称な運動の場合には、これらの相関の分布はそれぞれ同図の下部に描いたようになる筈である。(c)のI<sub>2</sub>は間欠係数の分布である。実験の境界面の運動、対称運動と反対称運動がある割合で重なっているとは定し、実験で得られた相関の分布と、図25に描いた分布とを比較して実験の境界面の運動が対称運動と反対称運動のいずれに近いかを判断しようというわけである。図26にX/2h=12, Y/2h=±3における間欠信号とその積I<sub>1</sub>I<sub>2</sub>を示す。図27はX/2h=12における相関 $\overline{I_1 I_2} / \overline{I_1}$ の分布である。Nの場合には対称運動と反対称運動の、ほぼ中間の運動をしているが、Eの場合には完全に反対称な運動をしている。図28はX/2h=22における相関 $\overline{I_1 I_2} / \overline{I_1}$ の分布である。X/2h=12のとさ、ほど顕著ではないが、やはりEの場合には対称運動の割合が小さくついている。従つて音によつて励起すると対称な運動が抑制され、反対称な運動の割合が大きくなることがわかる。このことは相関 $\overline{I_1 I_2}^2 / \overline{I_1} \cdot \overline{I_2}$ の測定から確かめられた。この結果と遷移過程との関係については

以下のように考えられる。励起した音の周波数 ( $f_1 = 265 \text{ Hz}$ ) の変動が  $255 \text{ Hz}$  付近の周波数の変動と非線形干渉を起し  $10 \text{ Hz}$  程度の変動が生じるものとする。即ち

$$f_3 = f_1 - f_2 \quad \text{ただし} \begin{cases} f_1 = 265 \text{ Hz} \\ f_2 \sim 255 \text{ Hz} \\ f_3 \sim 10 \text{ Hz} \end{cases}$$

よして周波数  $f_2$  の変動は自然遷移の場合も励起した場合も反対称モードに近くと考える。このとき周波数  $f_3$  の大きさは  $v$  の変動のモードは表1のようになる。すなわち自然遷移の場合は  $v(f_3)$  は反対称モードに近く、これは境界面の対称な運動に寄与する。しかし励起した場合は  $v(f_3)$  は対称モードに近くなり、境界面の反対称な運動を促す。

	$u(f_1)$	$u(f_2)$	$u(f_3)$	$v(f_3)$	境界面の運動
Natural	A	A	S	A	S
Excited	S	A	A	S	A

表1

S: 対称, A: 反対称

また図27と図28を比較すると、Nの場合もEの場合も  $Y_2 = -Y_1$  での相関の値が大きくなって、下流へ進むにつれて、励起による対称運動の抑制が効かなくなるということもできる。

最後に図29.30.は  $Y=0$  に関して対称な2点の速度変動  $U_1$ ,  $U_2$  の相互相関  $R(r, \tau)$  である。  $R(r, 0)$  は  $N$  のとき負で  $E$  のとき正である。従って  $N$  の場合一方で加速されると他方では減速されるが、  $E$  の場合は一方で加速されると他方でも加速され、一方で減速されると他方でも減速される。

#### 4. まとめ

本実験により以下の結論が得られた。

- (1) 音によって励起すると遷移の完了が吹き口の幅の  $\frac{1}{4}$  倍の距離まで下流方向へずれる。
- (2) 人工励起のある場合は平均速度分布の半直幅は小さくなり、中心軸上の平均速度は大きくなる。
- (3) 人工励起のとき、微分特性時間などの時間スケールは小さくなる。
- (4) 人工励起のとき間欠領域の幅は小さくなる。しかし平均速度の半直幅との比は、自然遷移のときも励起したときほぼ同じ大きさであり、下流方向にもほぼ一定である。
- (5) 乱流境界が変動する周波数は高々  $10\text{Hz}$  の程度であり、これは自然遷移のときも人工的に励起したときもほぼ同じで下流方向にもほとんど変化しない。
- (6) 両側の乱流境界面の運動は、励起すると対称な運動の割

合が小さくなり、反対称運動の割合が大きくなる。

- (7) 両側の乱流境界面の運動が、自然遷移のときより人工励起のあるときより下流へ進むにつれて対称性運動に近くなる。

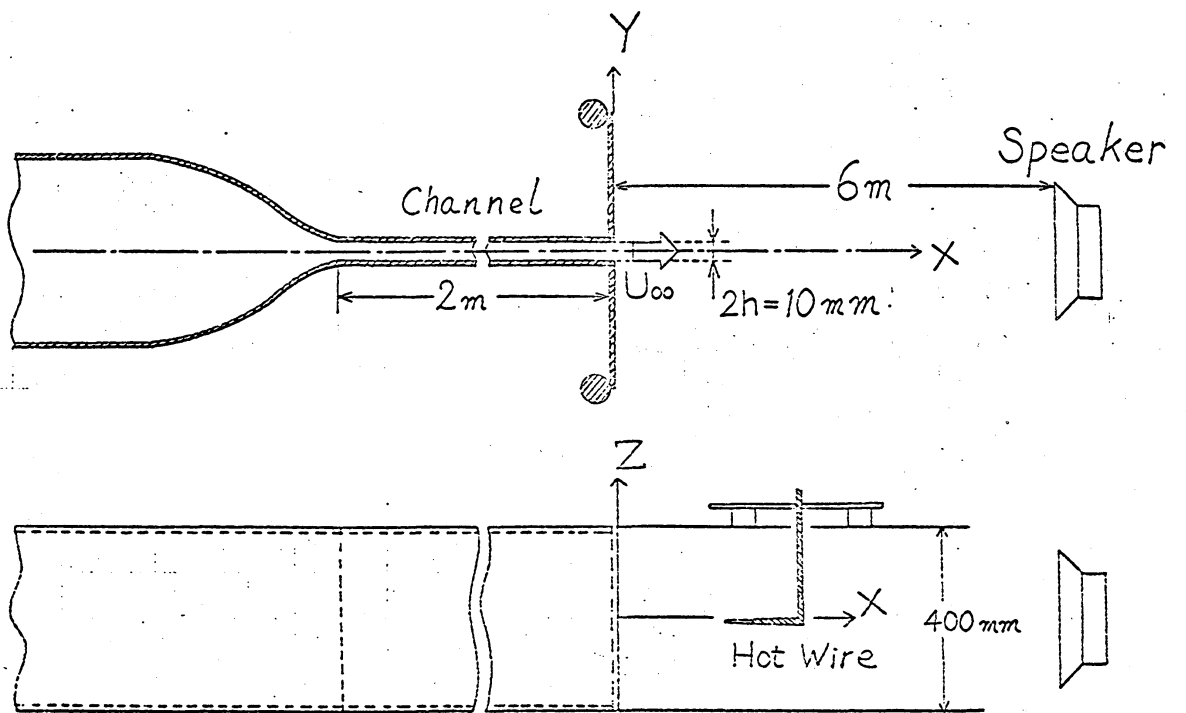
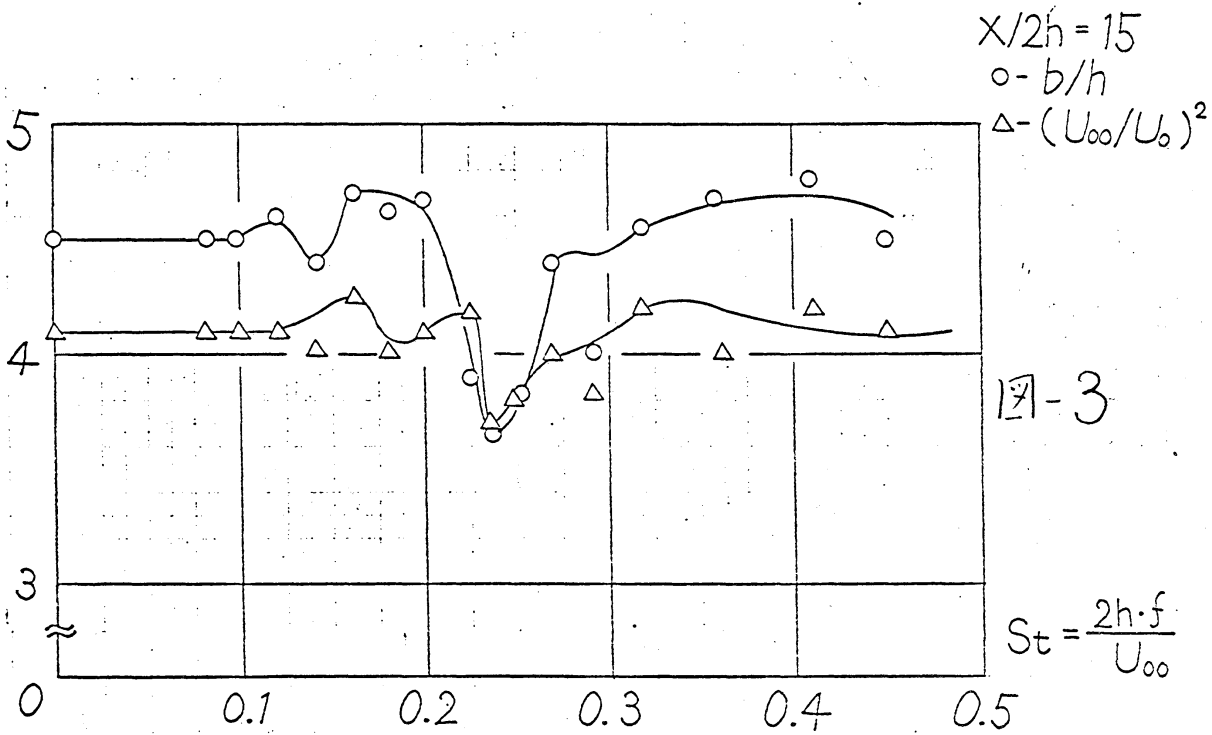
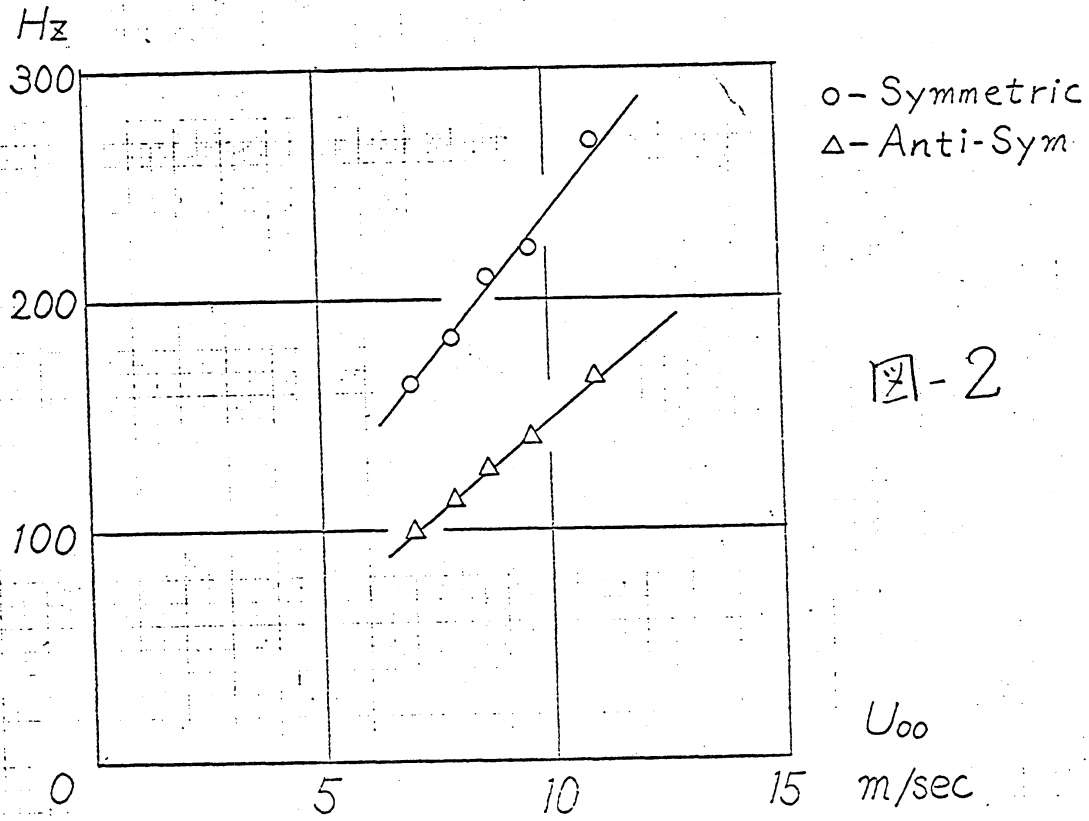
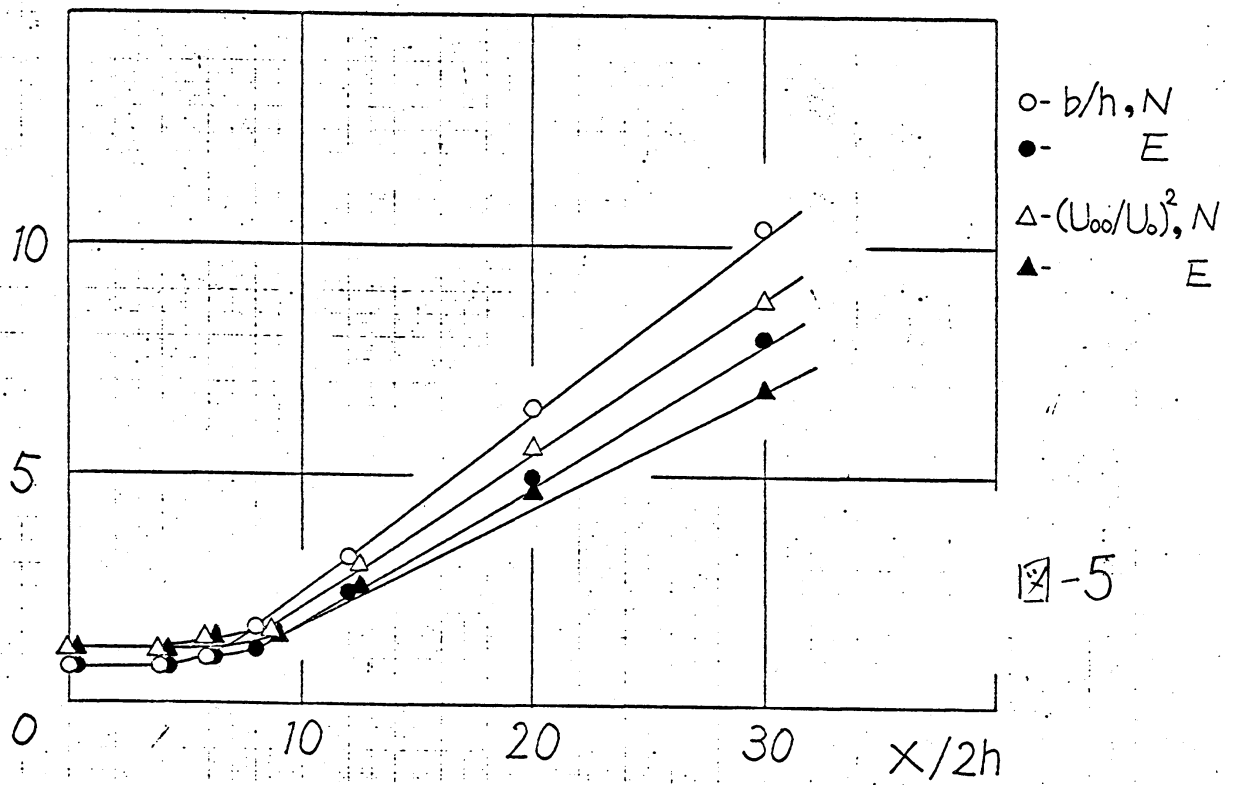
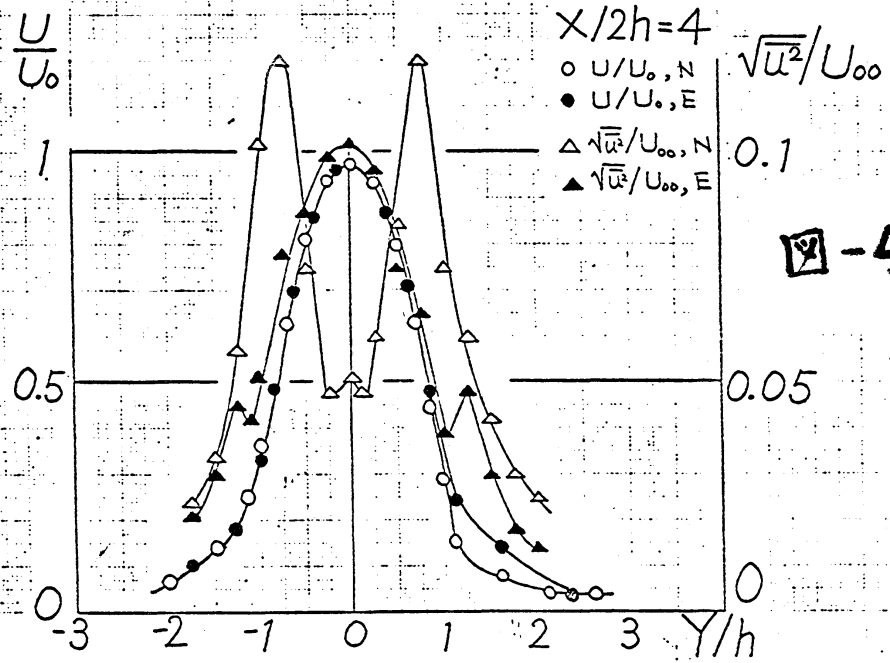
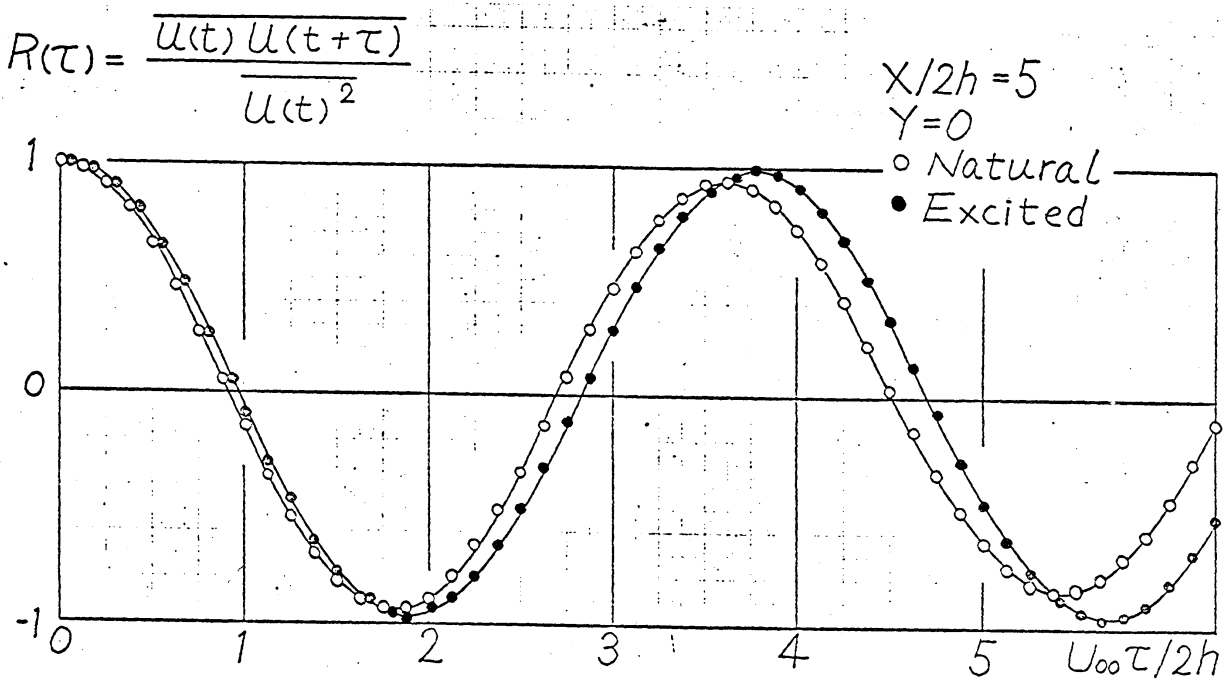
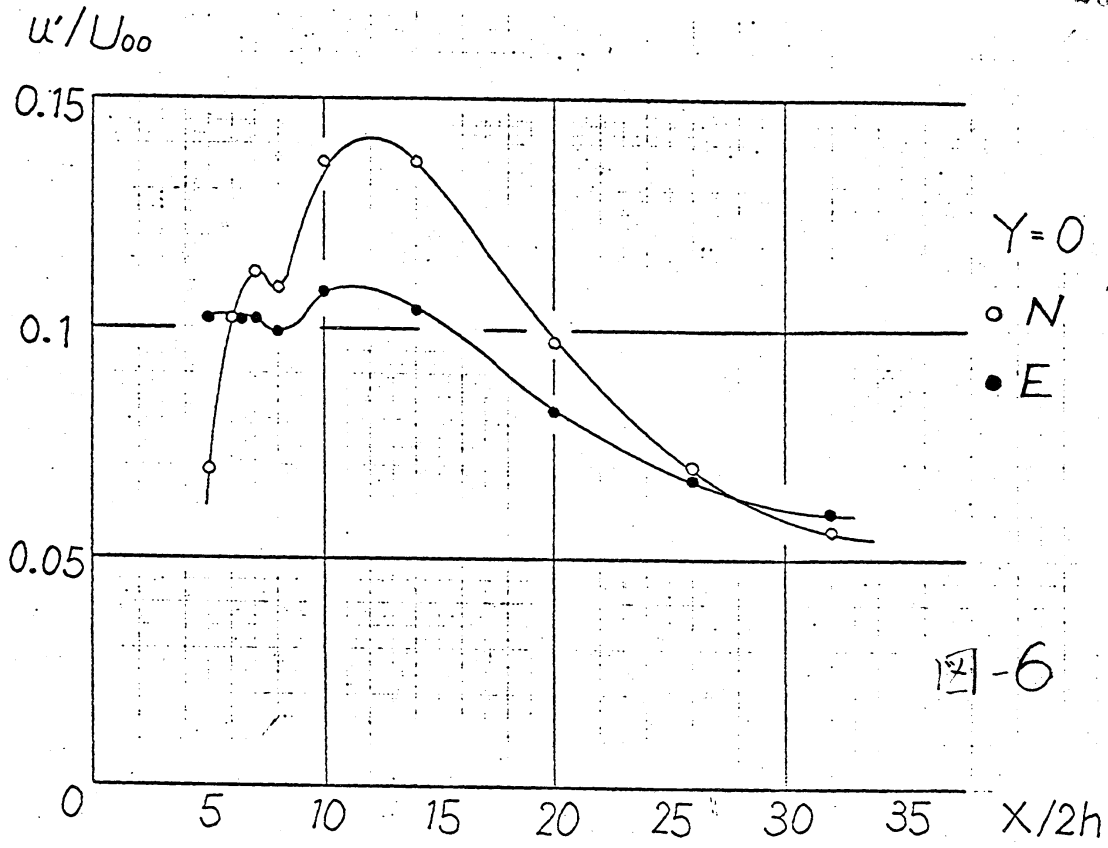


図-1



$$Re = \frac{U_{\infty} 2h}{\nu} = 7500$$





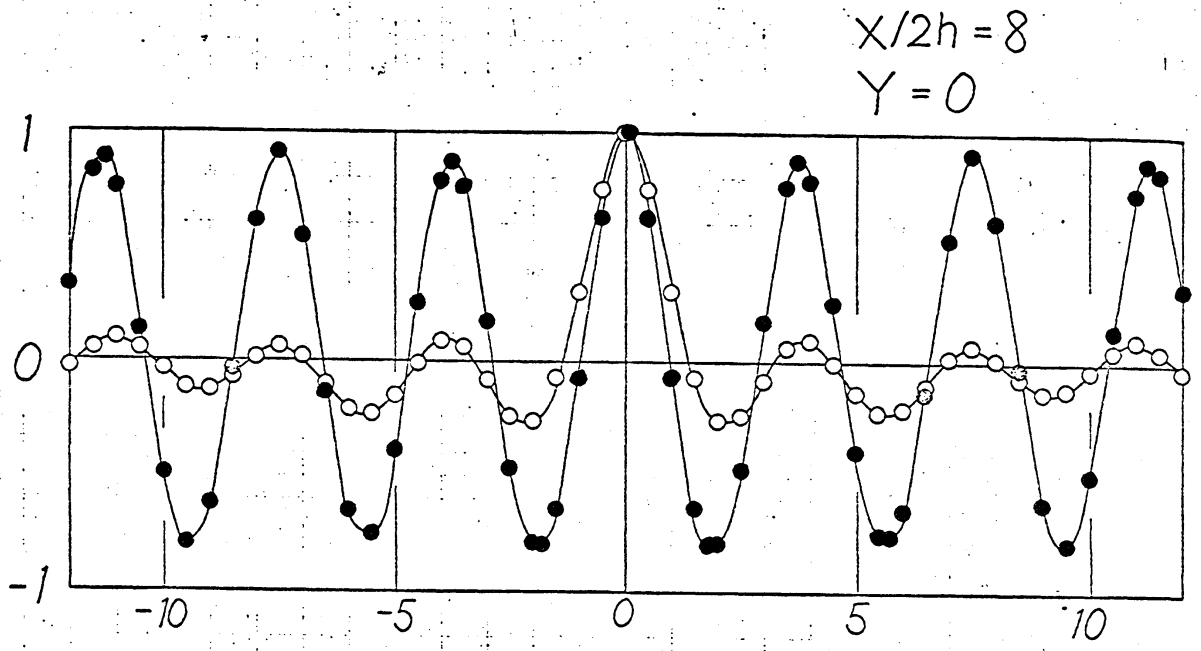


图-8

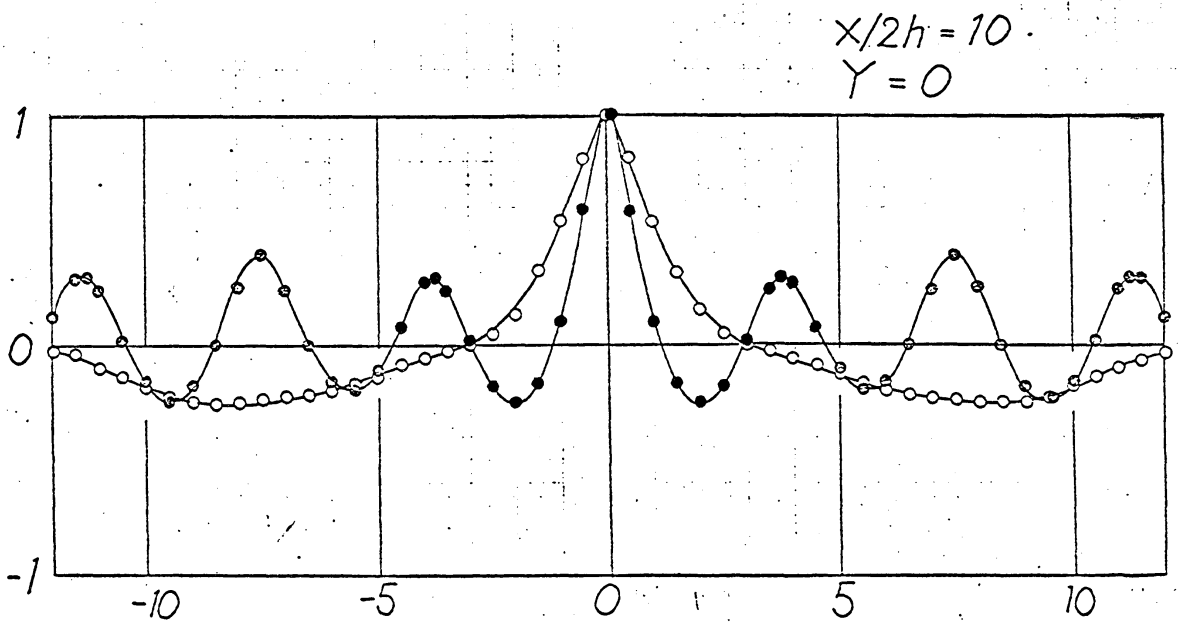


图-9

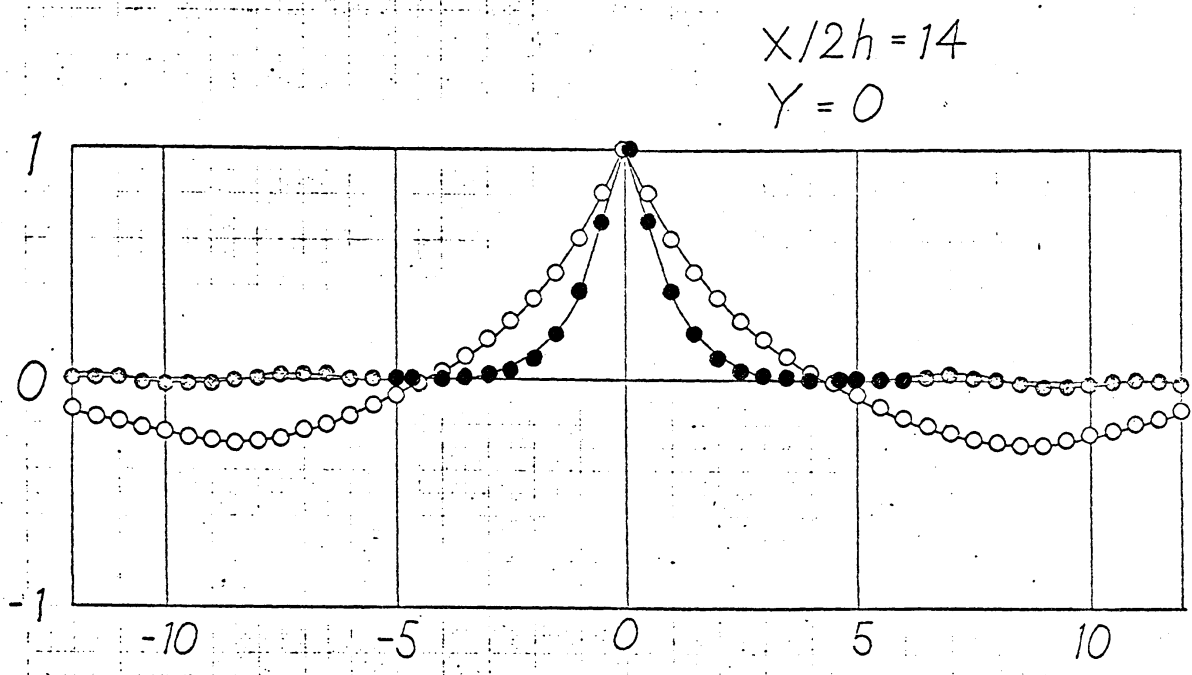


图-10

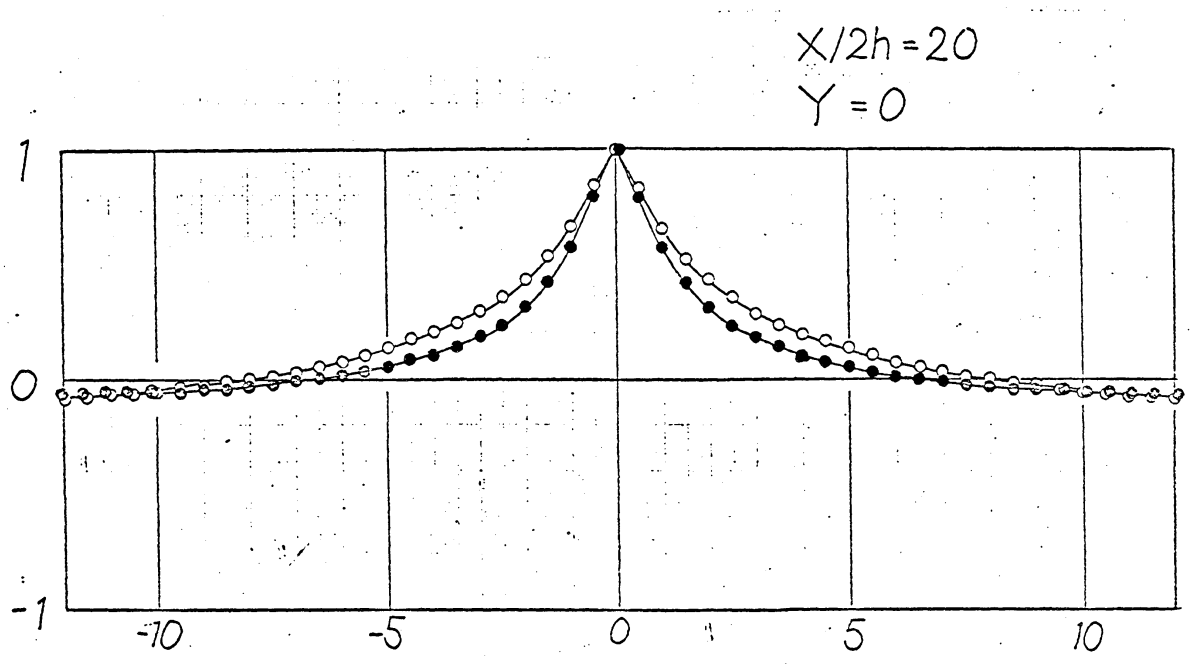


图-11

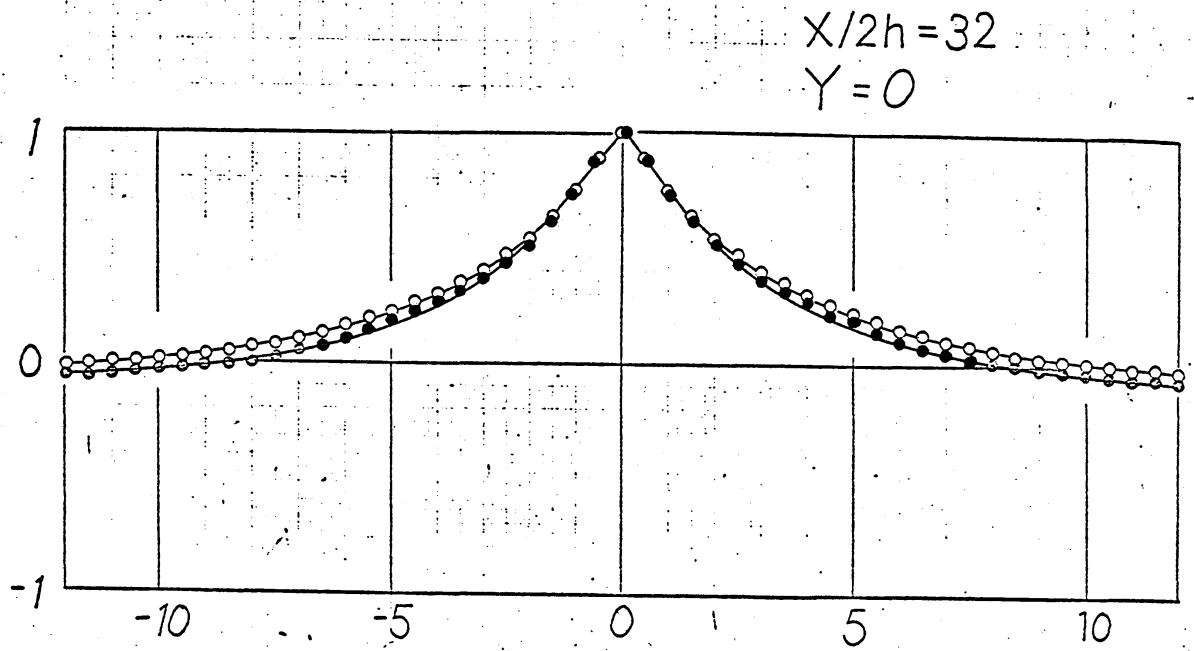
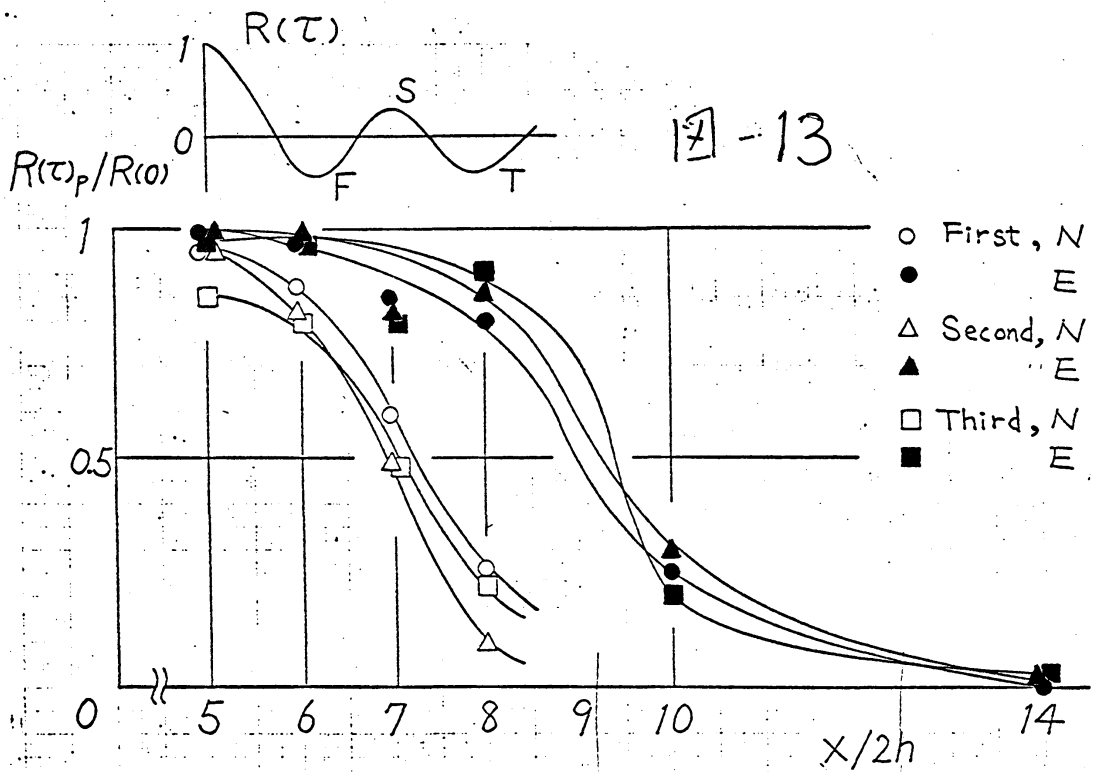


图-12



$$T_{\text{micro}} = \left( - \frac{1}{\partial^2 R / \partial \tau^2} \right)^{\frac{1}{2}}$$

17-14

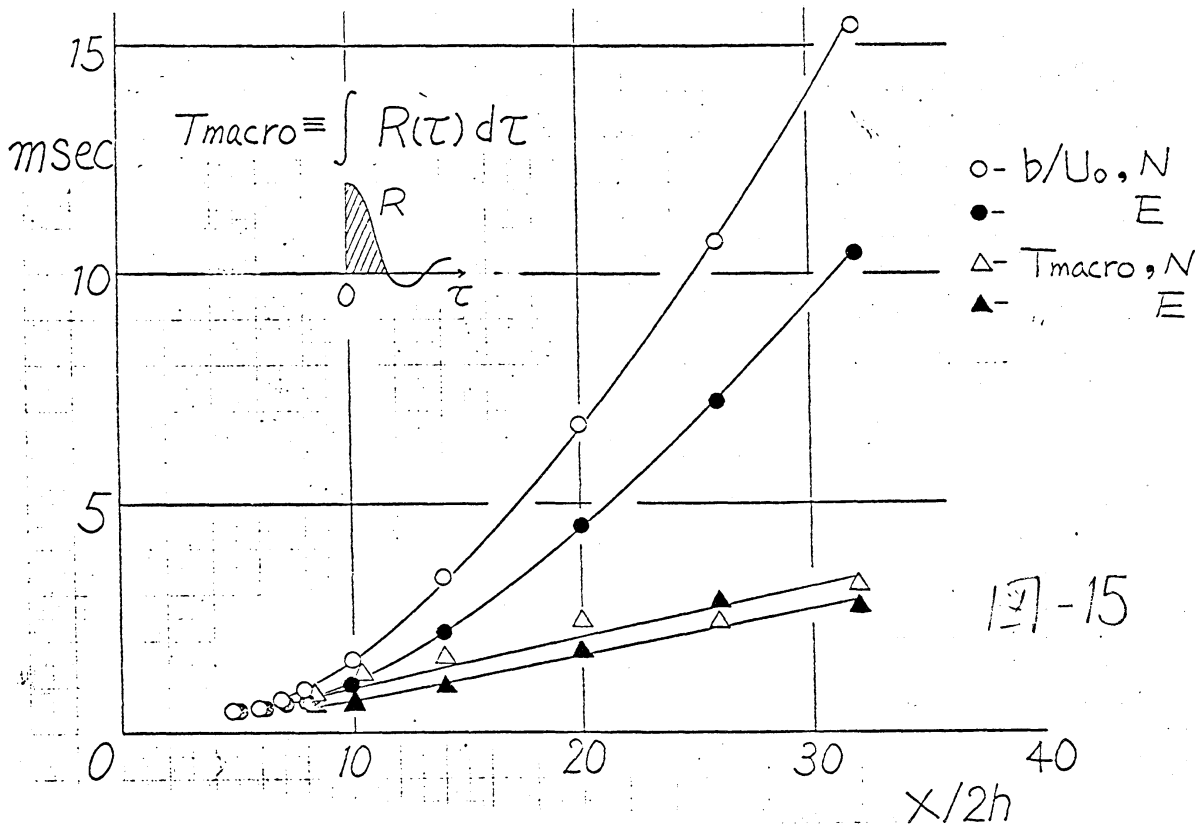
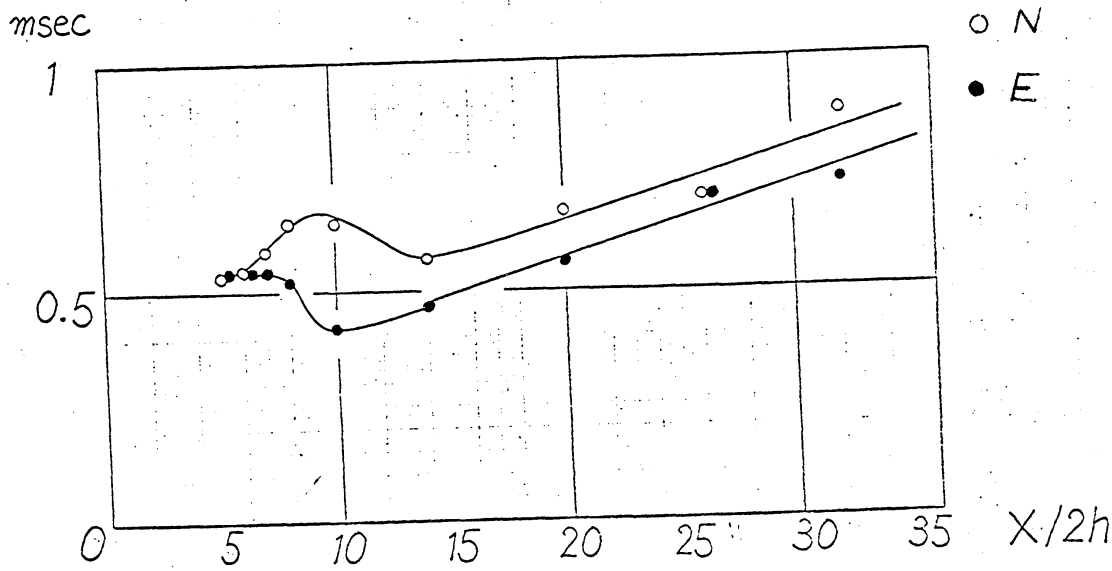


图-16

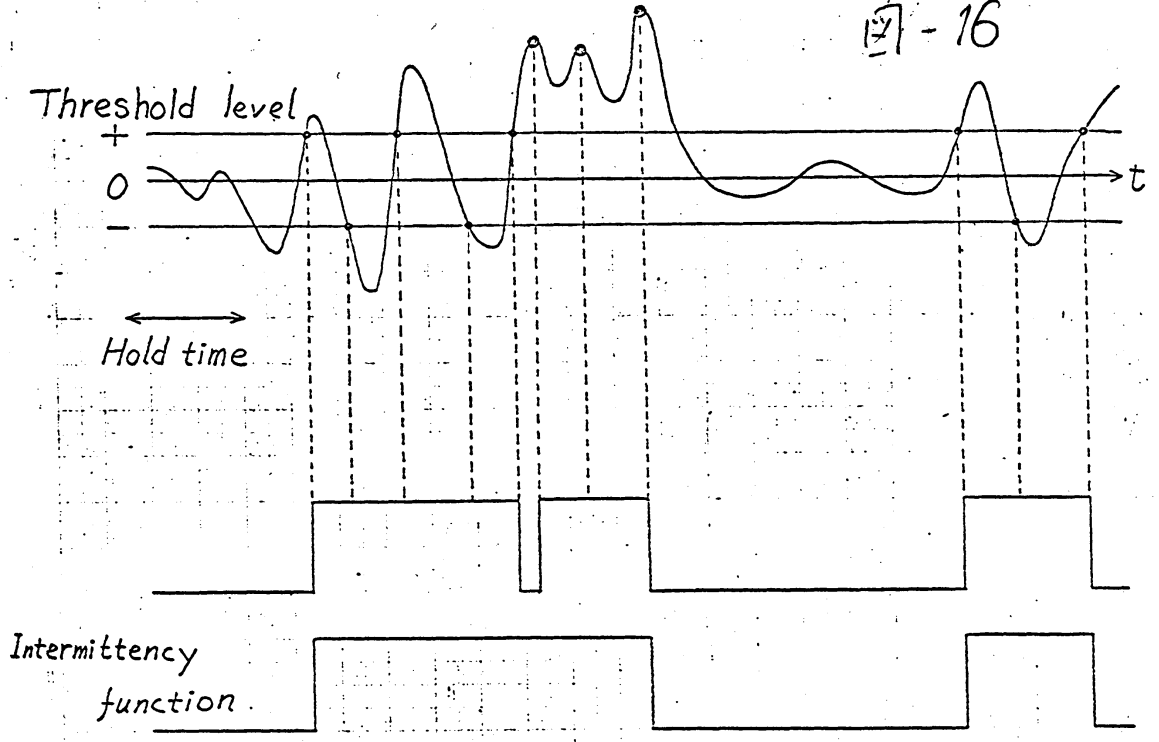
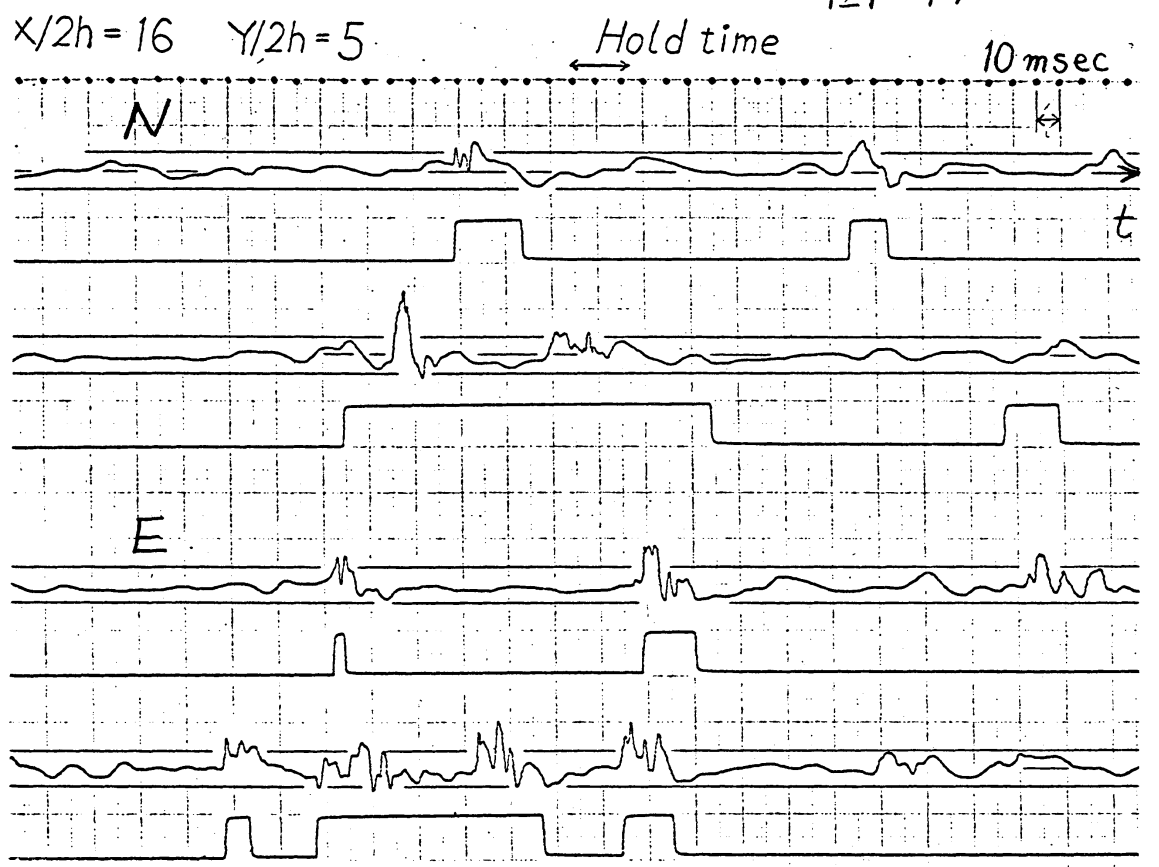
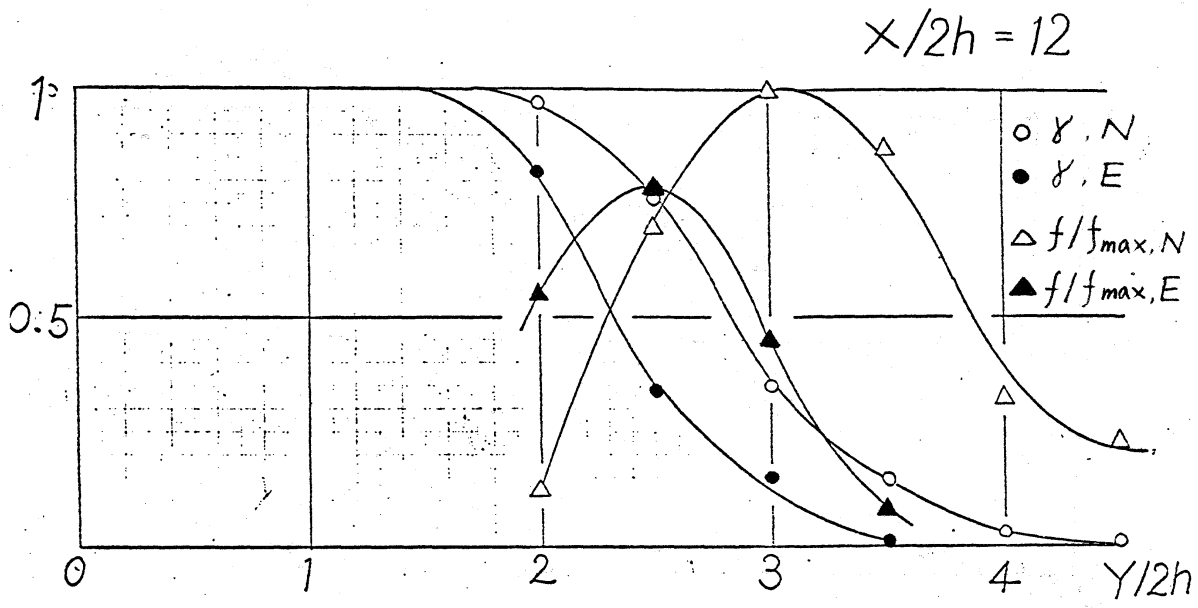
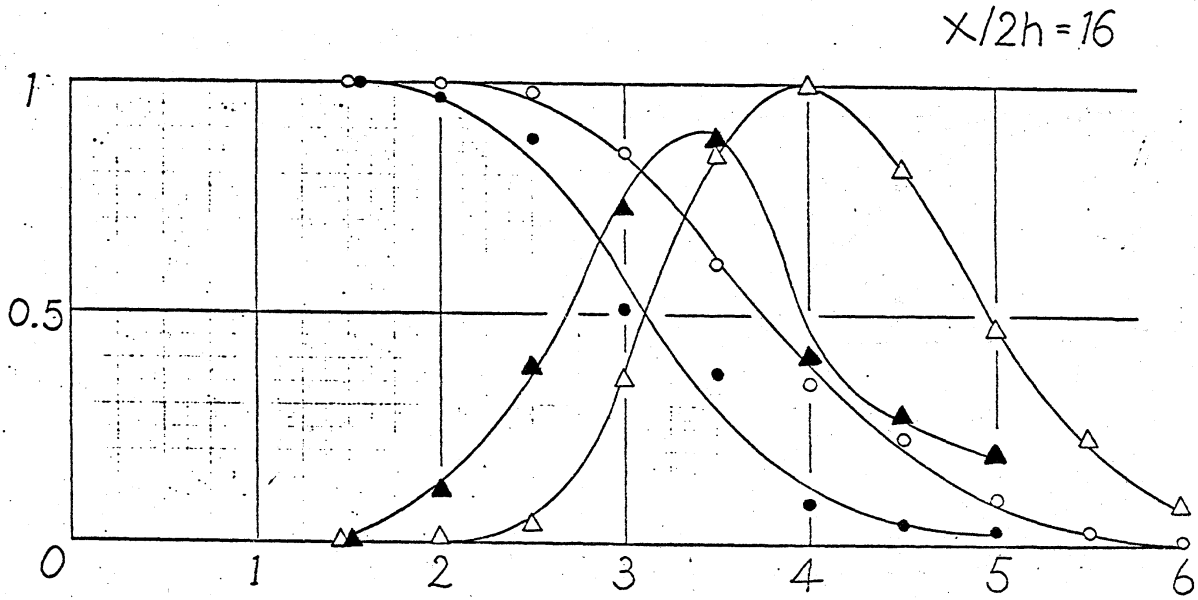


图-17





17-18



17-19

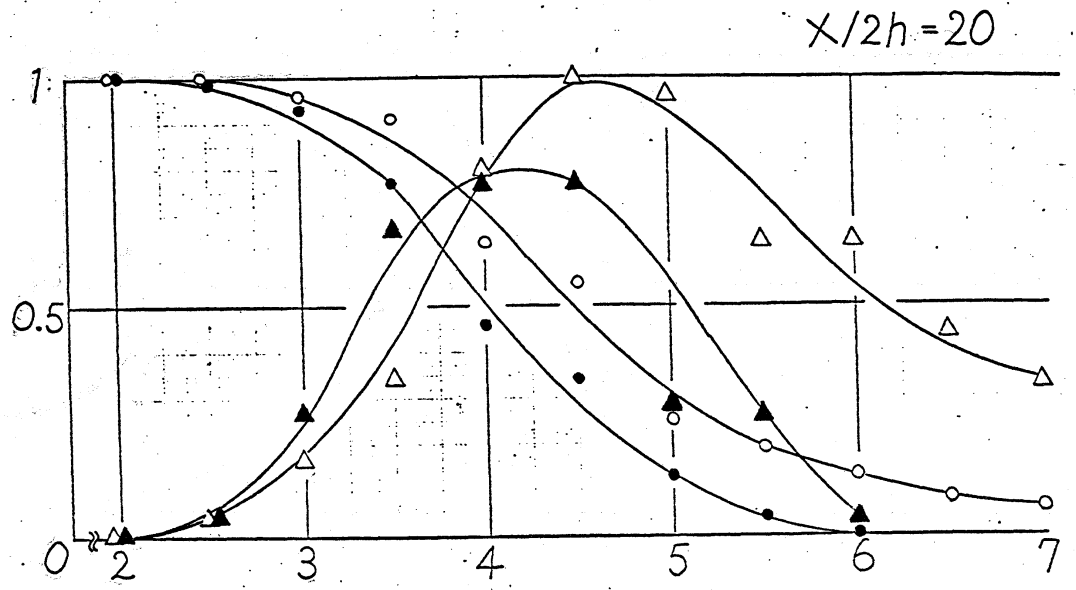


图-20

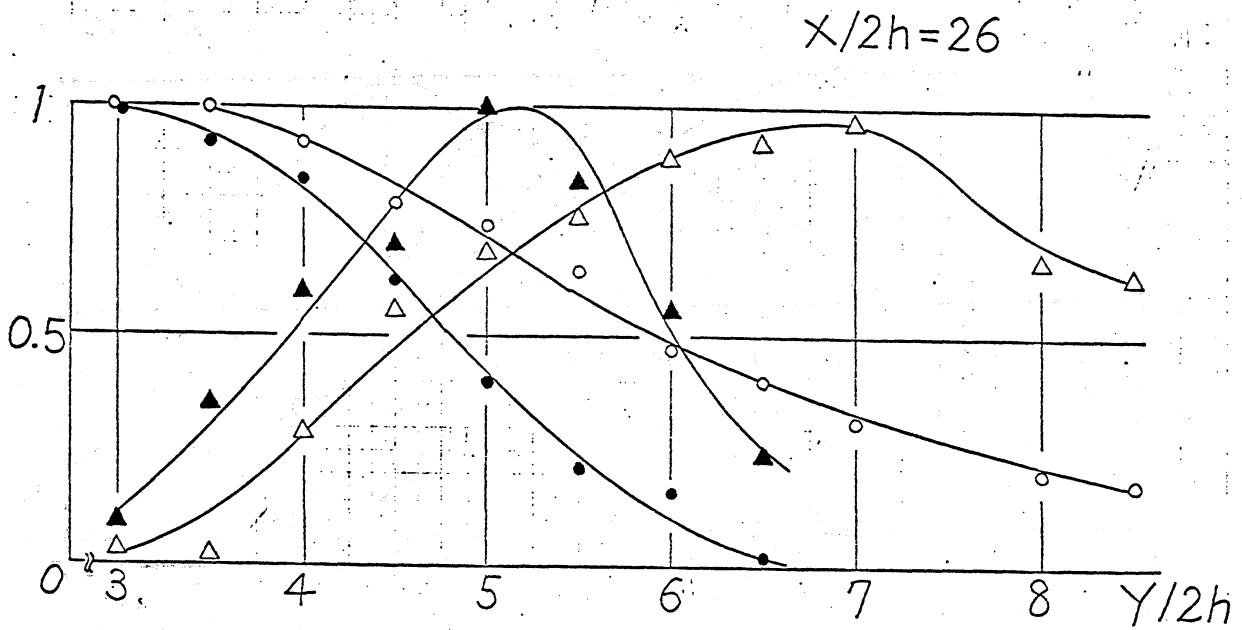


图-21

$x/2h = 32$

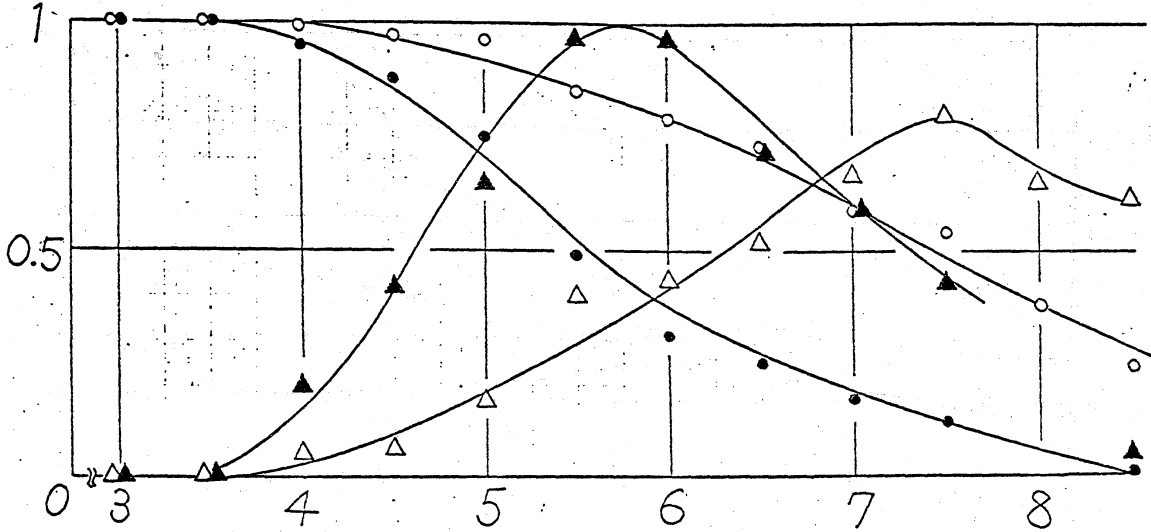


图-22

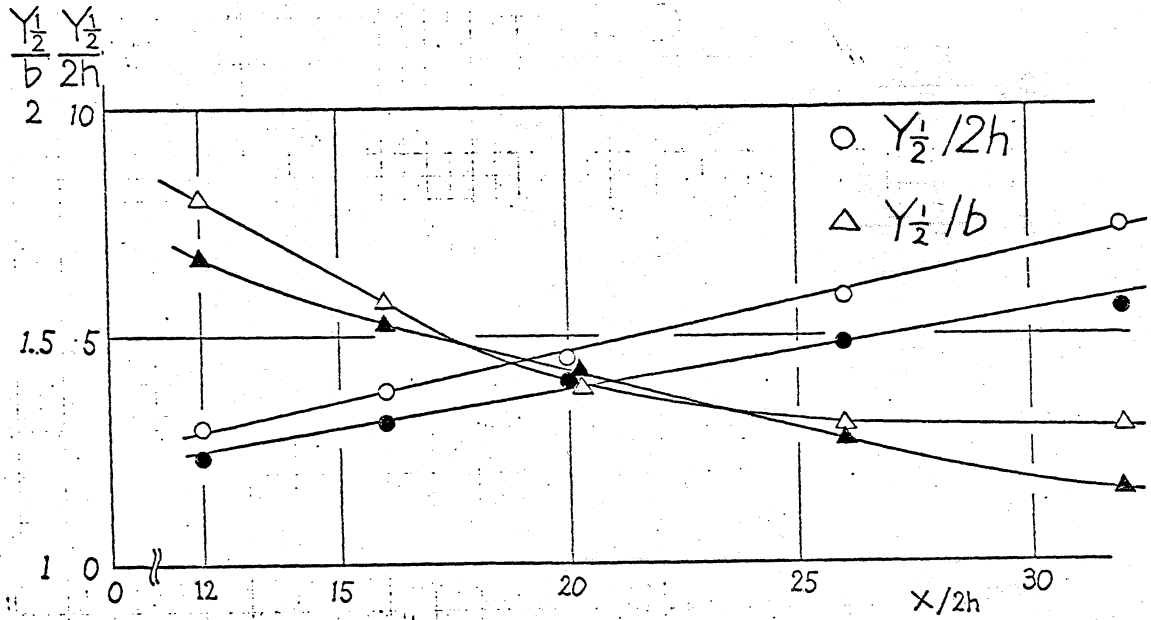
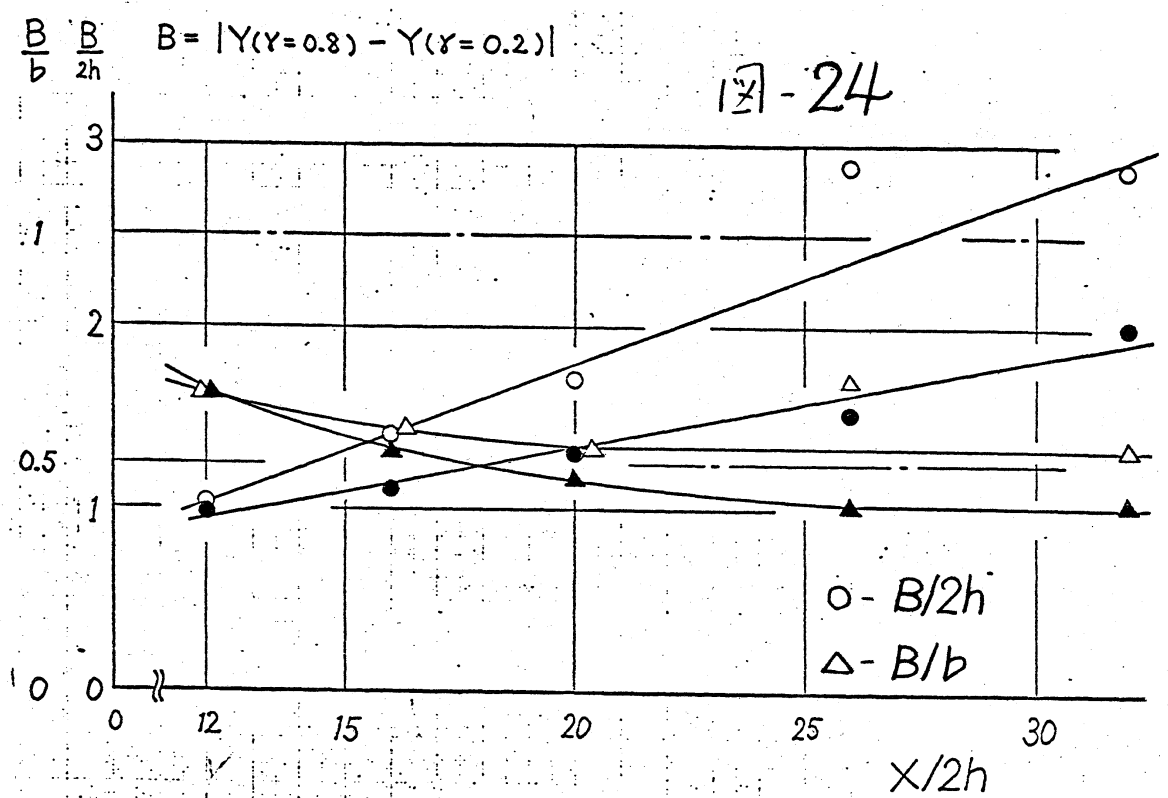


图-23



- (a)  $\frac{\bar{I}_1 \bar{I}_2}{\bar{I}_1}$
- (b)  $\frac{\bar{I}_1 \bar{I}_2^2}{\bar{I}_1 \bar{I}_2}$
- (c)  $\bar{I}_2$

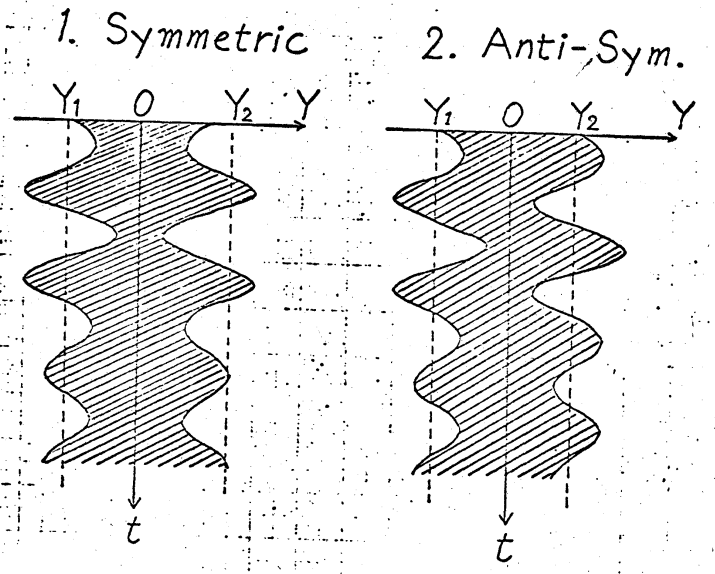
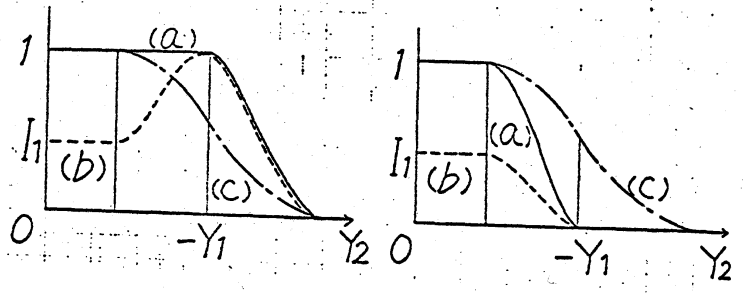


图-25



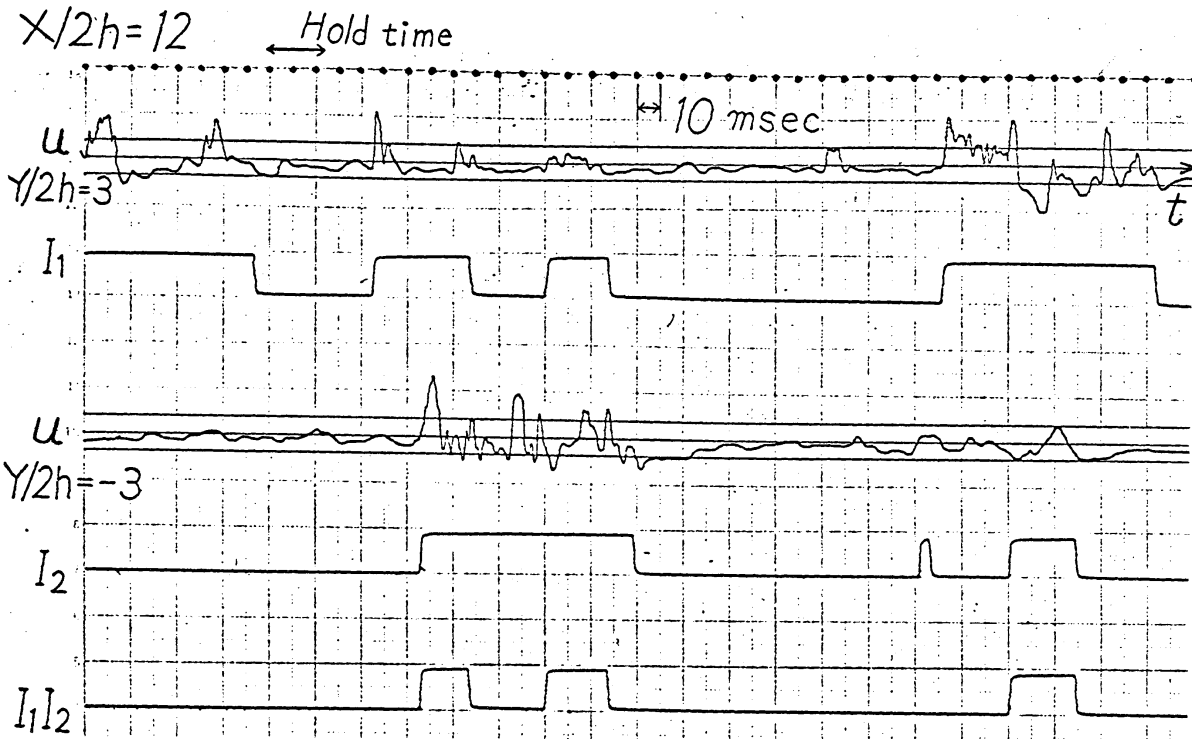
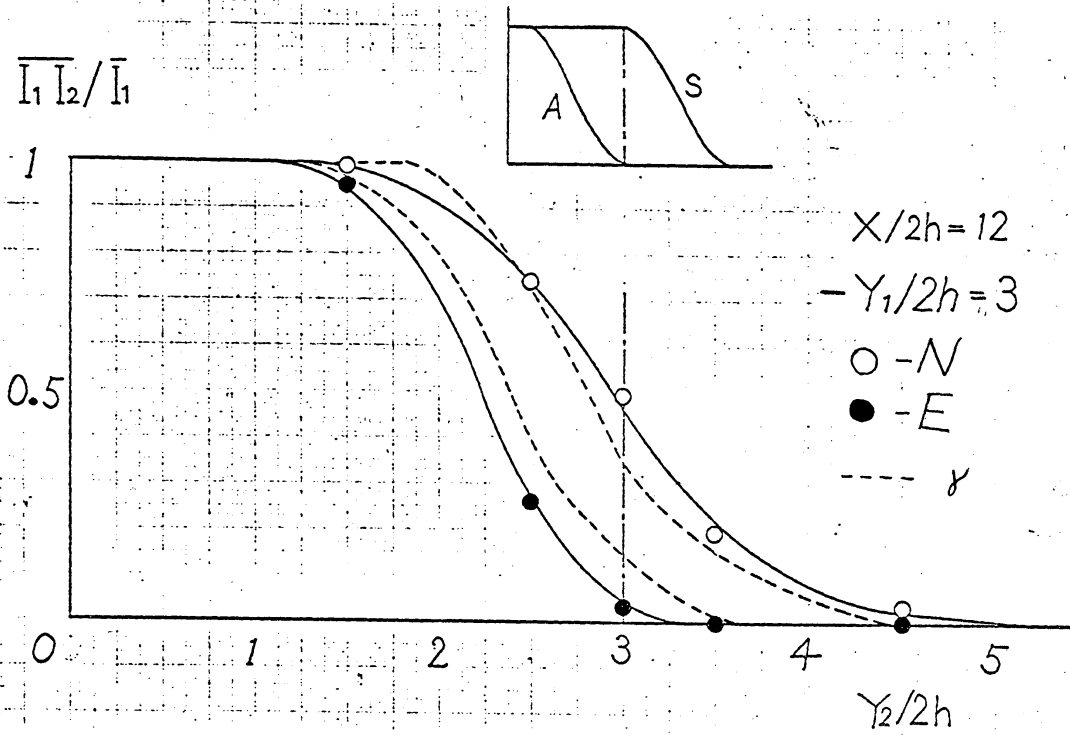


图 - 26

图 - 27



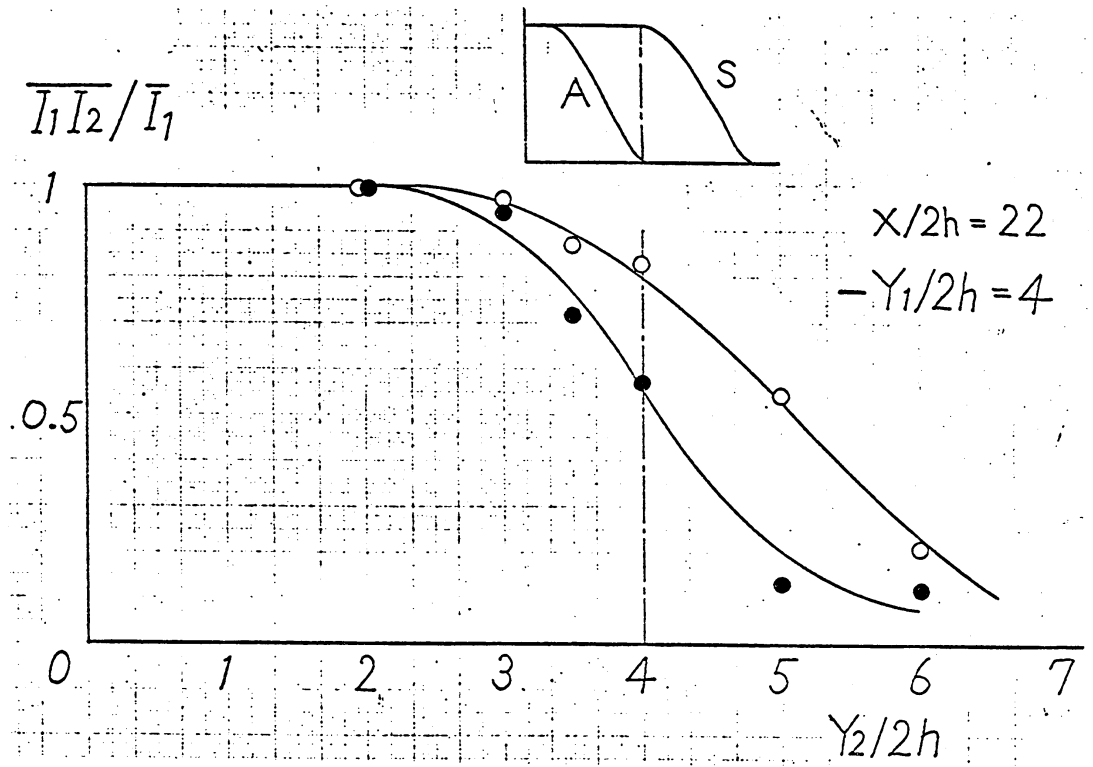


图-28

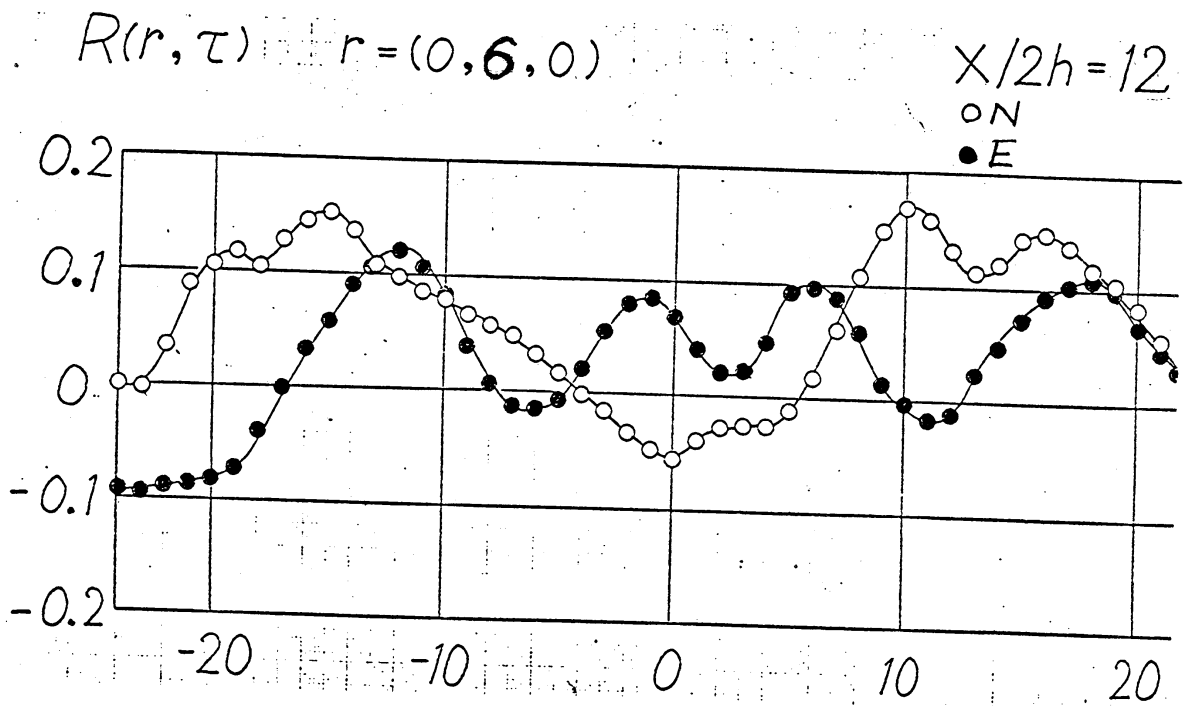


图-29

$$R(r, \tau) = \frac{U_1(t)U_2(t+\tau)}{\sqrt{U_1(t)^2}\sqrt{U_2(t)^2}} \quad r=(0, 8, 0) \quad x/2h=2.2$$

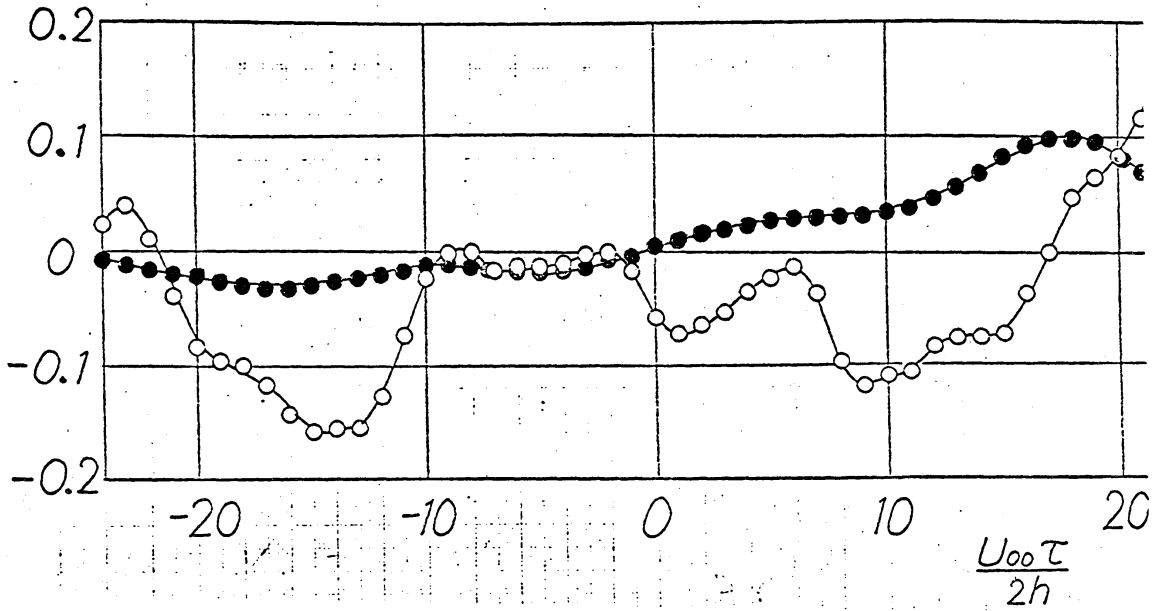


图 - 30